

MS de Polos Solventes $\underline{e} \neq \text{cte.}$

f. un. m. de entrelaños

t

(campo $H(\theta, t)$, puramente radial en el entrelaño)

$$E(\theta, t) = H(\theta, t) \cdot e(\theta, t)$$

↑ entrelaño, variable en θ y t

con un entrelaño que no es más constante, el valor de $e = e(\theta, t)$ dependerá de cada posición θ , y del tiempo t .

la idea básica es elegir un referencial donde la expresión de $e(\theta, t)$ se simplifique.

$$H(\theta, t) = \frac{E(\theta, t)}{e(\theta, t)}$$

$$B(\theta, t) = \mu_0 H(\theta, t) = \frac{\mu_0}{e(\theta, t)} \cdot E(\theta, t)$$

definición $p(\theta, t) = \frac{d\mu}{e(\theta, t)} =$ "permeancia ^{del entrelaño} por unidad de superficie"

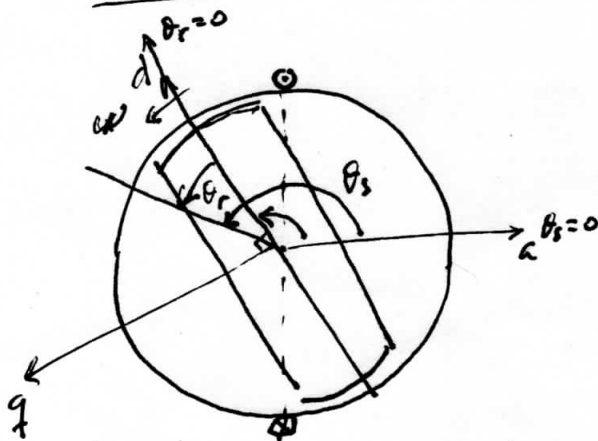
$$R = \frac{l}{\mu \cdot S} = \text{definición de reluctancia}$$

$$P = \frac{1}{R} = \frac{\mu \cdot S}{l} = \text{definición de permeancia}$$

$$\frac{P}{S} = \frac{\mu}{l} = \text{"permeancia por unidad de superficie"}$$

$$\Rightarrow \boxed{B(\theta, t) = p(\theta, t) \cdot E(\theta, t)}$$

inducción magnética en el entrelaño, supuesta puramente radial.



Elegimos un referencial fijo en el rotor y tal que $\theta_r = 0$ coincide con el eje d (eje longitudinal del rotor).

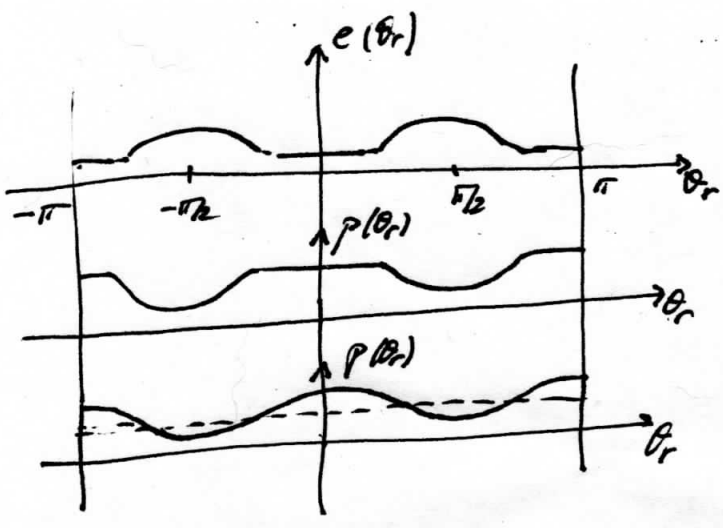
$$\theta_s = \theta_r + \alpha(t)$$

$$\alpha(t) = \Omega_s t + \alpha_0$$

$\Omega_s = \omega$
velocidad de sincronismo

de esta forma $e(\theta, t) = e(\theta_r)$

(el referencial del rotor fijo a vel. sincronismo) ^{respecto del rotor, el entrelaño no depende de t}



$$p(\theta_r) = \frac{\mu_0}{e(\theta_r)}$$

$$p(\theta_r) = \sum_{k=0}^{\infty} P_{2k} \cos 2k\theta_r$$

desarrolla en los pares con valor medio $\neq 0$

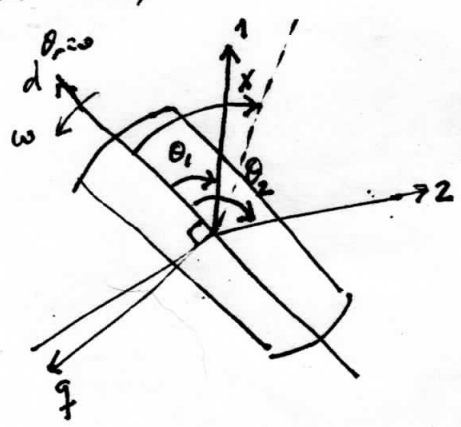
Aprox:

$$p(\theta_r) = P_0 + P_2 \cos 2\theta_r$$

Dependencia térmica de onda magnética.

Obs: A pesar de entrelazado no constante, se repiten abriendo por el campo magnético al rotar.

A continuación analizaremos la situación de 2 bobinas, la bobina 1 y bobina 2, situadas indistintamente en el rotor o en el estator.



Observar que los ejes de simetría (ejes de flujo) de esas bobinas, caracterizados por los ángulos θ_1 y θ_2 , mientras que la posición de un punto genérico del entrelazado estará caracterizada por el ángulo x .

Obs. que al tomar ref. en el rotor, los ángulos θ_1 y θ_2 son o bien ctes (si bobinas fijas al rotor), o crecientes en sentido horario (o sea decrecientes).

Lo mismo para x .

→ F.m.m. de entrelazo y campo magnético creado por la bobina 1

Hip: Bobina 1 con distribución sinusoidal de espiras (conductores).

Hip → 2N₁ espiras, distribuidas sinusoidalmente.

$$E_1(x,t) = N_1 i_1(t) \cos(x - \theta_1)$$

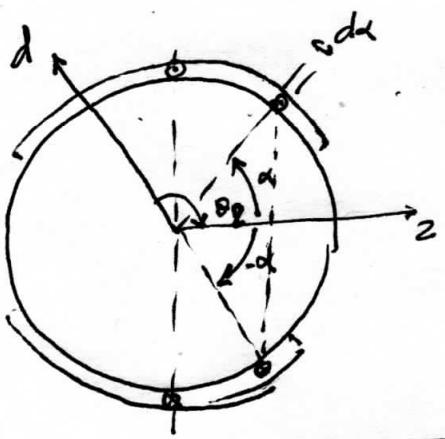
$$B_1(x,t) = \mu(x) \cdot E(x,t) = N_1 i_1 \cos(x - \theta_1) [P_0 + P_2 \cos 2x]$$

$$B_1(x,t) = N_1 i_1 [P_0 \cos(x - \theta_1) + P_2 \underbrace{\cos(x - \theta_1) \cos 2x}_{\frac{1}{2} [\cos(3x - \theta_1) + \cos(x + \theta_1)]}]$$

$$B_1(x,t) = N_1 i_1 [P_0 \cos(x - \theta_1) + \frac{1}{2} P_2 \cos(x + \theta_1) + \frac{1}{2} P_2 \cos(3x - \theta_1)]$$

→ Cálculo del flujo que atraviesa el bobinado 2, del campo magnético creado por la bobina 1.

Hip. Bobina 2, con 2N₂ espiras, distribuidas sinusoidalmente



$$N_2(\alpha) = N_2 \sin \alpha$$

Consideramos una "espira" ficticia comprendida entre $-\alpha + d\alpha$ y $\alpha - d\alpha$. Esta espira es de paso 2α (aprox) despreciando $d\alpha \ll \alpha$.

La espira ficticia tiene $N_2(\alpha)d\alpha$ "conductores".

$$d\psi_{21} = N_2(\alpha) d\alpha \int_{\theta_2 - \alpha}^{\theta_2 + \alpha} L R B_1(\gamma, t) d\gamma$$

Flujo enlazado por $N_2(\alpha)d\alpha$ "espiras" entre $-\alpha$ y $+\alpha$, situadas respecto al eje de la bobina 2 situado a θ_2 de la referencia α .

$$d\psi_{21} = N_2(\alpha) d\alpha \cdot LR N_1 i_1 \int_{\theta_2 - \alpha}^{\theta_2 + \alpha} \left[P_0 \cos(x - \theta_1) + \frac{1}{2} P_2 \cos(x + \theta_1) + \frac{1}{2} P_2 \cos(3x - \theta_1) \right] dx$$

$$d\psi_{21} = LR N_1 N_2(\alpha) i_1 d\alpha \left[\int_{\theta_2 - \alpha}^{\theta_2 + \alpha} P_0 \cos(x - \theta_1) dx + \int_{\theta_2 - \alpha}^{\theta_2 + \alpha} \frac{1}{2} P_2 \cos(x + \theta_1) dx + \int_{\theta_2 - \alpha}^{\theta_2 + \alpha} \frac{1}{2} P_2 \cos(3x - \theta_1) dx \right]$$

$$\int_{\theta_2 - \alpha}^{\theta_2 + \alpha} \cos(x - \theta_1) dx = \sin(\theta_2 - \theta_1 + \alpha) - \sin(\theta_2 - \theta_1 - \alpha) = 2 \cos(\theta_2 - \theta_1) \sin \alpha$$

$$\int_{\theta_2 - \alpha}^{\theta_2 + \alpha} \cos(x + \theta_1) dx = \sin(\theta_2 + \theta_1 + \alpha) - \sin(\theta_2 + \theta_1 - \alpha) = 2 \cos(\theta_2 + \theta_1) \sin \alpha$$

$$3 \int_{\theta_2 - \alpha}^{\theta_2 + \alpha} \cos(3x - \theta_1) dx = \sin(3\theta_2 - \theta_1 + 3\alpha) - \sin(3\theta_2 - \theta_1 - 3\alpha) = 2 \cos(3\theta_2 - \theta_1) \sin 3\alpha$$

$$\Rightarrow d\psi_{21} = LR N_1 N_2(\alpha) i_1 d\alpha \left[2 P_0 \cos(\theta_2 - \theta_1) \sin \alpha + P_2 \cos(\theta_2 + \theta_1) \sin \alpha + \frac{1}{3} P_2 \cos(3\theta_2 - \theta_1) \sin 3\alpha \right]$$

luego
$$\psi_{21} = \int_{\alpha = -\pi/2}^{\alpha = \pi/2} d\psi_{21}(\alpha, t) d\alpha$$

con $N_2(\alpha) = N_2 \sin \alpha$

$$\Psi_{21} = LR N_1 i_1 N_2 \left[\int_{-\pi/2}^{\pi/2} 2 P_0 \cos(\theta_2 - \theta_1) \sin^2 \alpha \, d\alpha + \int_{-\pi/2}^{\pi/2} P_2 \cos(\theta_2 + \theta_1) \sin^2 \alpha \, d\alpha + \frac{1}{3} \int_{-\pi/2}^{\pi/2} P_2 \cos(3\theta_2 - \theta_1) \sin 3\alpha \sin \alpha \, d\alpha \right]$$

$$\int_{-\pi/2}^{\pi/2} \sin^2 \alpha \, d\alpha = \int_{-\pi/2}^{\pi/2} \frac{1 - \cos 2\alpha}{2} \, d\alpha = \frac{\pi}{2}$$

$$\int_{-\pi/2}^{\pi/2} \sin 3\alpha \sin \alpha \, d\alpha = \int_{-\pi/2}^{\pi/2} \frac{1}{2} [\cos 2\alpha - \cos 4\alpha] \, d\alpha = 0$$

$$\Rightarrow \Psi_{21} = \frac{\pi}{2} LR N_1 N_2 i_1 [2 P_0 \cos(\theta_2 - \theta_1) + P_2 \cos(\theta_2 + \theta_1)]$$

para bobinados 1 y 2 con distribución sinusoidal de espiras.

Faint handwritten notes and calculations, including the same formula as above.